

化学镀 Cu/Ni-P 双镀层的制备工艺与性能

吉林大学包装工程系 张丽芳 李文明 刘金玲 任宝林

本文讨论了在 ABS 工程塑料表面，采用碱性化学镀液获得优质 Cu/Ni-P 双镀层的工艺方法。通过 X 光衍射、XPS 谱及 SEM 等对镀层结构进行了探讨，重点是对镀层的附着力、导电性及电磁屏蔽性能的研究。

关键词：塑料化学镀，Cu/Ni-P 双镀层的结构与性能，电磁屏蔽

Process and Performance of Electroless Cu/Ni-P Double Films

Zhang Lifang Li Wenming Liu Jinling Ren Baolin

(Department of Packaging Engineering, Jilin University)

The paper discussed process for obtaining good Cu/Ni-P double films on surface of ABS plastic by alkaline electroless plating liquid. Structure of the film was studied by X ray diffraction, XPS and SEM. The adhesive force, conductivity and electromagnetic shielding effectiveness of films were investigated.

Keywords: electroless of plastics, structure and performance of Cu/Ni-P double films, electromagnetic shielding

1 前言

随着电子工业的高速发展，电磁波对于计算机、医疗仪器、通讯设备、家用电器及各种电子产品的电磁干扰（EMI）问题已日益严重起来。由于追求电子装置的轻型化和大批量生产，普遍采用塑料壳体代替金属，这对电磁屏蔽是不利的。因此，迫切要求塑料具有导电性和电磁屏蔽性^[1]。

将塑料与金属复合是制备电磁屏蔽材料的最主要途径，而塑料化学镀金属膜层屏蔽材料又以工艺简单、屏蔽性能优异而受到人们的青睐。化学镀 Cu/Ni-P 被认为是最有效、最经济的屏蔽 EMI 方法^[2]。第一层化学镀铜，铜具良好的导电性，电磁屏蔽效果极佳，但铜易被氧化腐蚀，不能长期使用；第二层化学镀镍，由于 Ni-P 镀层的高耐磨、耐蚀及抗氧化能力，可以保护内部铜层不被氧化，经久耐用。

塑料化学镀镍有酸性和碱性两种镀液。酸性镀液镀层含量高，耐磨耐蚀性好；但镀层内应力大、韧性差，且通常均在高温条件下施镀，若镀液低于 65℃ 是很难起镀的。因而使塑料的酸性化学镀镍受到了限制。而碱性镀液镀层尽管含磷量低，但镀层内应力小且呈压应力，对提高基体与镀层的结合力有很好地作用。镀层致密光亮，有很好的装饰性。碱性镀液可在较低温度下工

作，正适合塑料器件不能承受高温的要求。因此，碱性化学镀镍在塑料化学镀中获得了较为广泛地应用。另外，在化学镀铜层上镀镍，也不宜在高温下进行。因此，我们是采用碱性化学镀镍。

2 实验部分

2.1 Cu/Ni-P 双镀层材料的制备^[3]

2.1.1 ABS 基片预处理

基片是直径 110mm、厚 3mm。预处理步骤如下：试片除应力→碱性除油→铬酸硫酸溶液粗化→胶体钯敏化与活化→解胶。

预处理中，必须使试片全部浸入液体内，并经常翻动。为防止试片变形，溶液温度不宜太高。每步处理后，必需用水彻底清洗试片。

2.1.2 化学镀铜

镀液以硫酸铜为主盐，酒石酸钾钠及 EDTA 二钠盐为络合剂，甲醛为还原剂，适量加入些稳定剂。镀覆温度在 40~50℃，pH 约为 12。

2.1.3 化学镀镍

镀镍液以硫酸镍为主盐，焦磷酸钠为络合剂，次亚磷酸钠为还原剂，加入极少量重金属盐作为稳定剂。施镀温度为 60℃ 左右，pH 在 8~13 范围内，最佳值是 10

~11。

因铜本身不具有自催化能力，其电极电位较镍为正，因此，化学镀铜后的试片必需引发起镀镍。本实验是将试片浸入稀酸性氯化钯溶液中浸渍片刻（以水清洗）后镀镍。

2.2 测试

2.2.1 以 D/max-rAX 光衍射仪、VG SCIENTIFIC ESCALAB-MK II 型 XPS 能谱仪及 HITACHI X-650 型 SEM 测定镀层的表观形貌和微结构。

通过 QEZ-II 型漆膜附着力测试仪测膜层结合力。以电桥法测定膜层电阻。

2.2.2 镀层的电磁屏蔽效果是采用法兰同轴装置测定的。在该装置内，电磁波的电场与磁场相互正交且垂直于传播方向。因此，测定结果是试样对垂直入射平面电磁波的屏蔽性能。测量的频率范围是 10kHz ~ 10⁶kHz，动态范围大于 100dB。

3 结果与讨论

3.1 关键工艺方法

粗化工艺是影响镀层附着力最关键的一步。

由于 ABS 塑料是由硬的、内聚的丙烯腈 (A) 和苯乙烯 (S) 混合聚合物及在其中弥散分布的橡胶状丁二烯 (B) 小球聚合而成。当以铬酸一硫酸溶液浸渍时，表层的 B 组分丁二烯被氧化腐蚀掉，周围的 A 及 S 组分基本没有变化。因而在 ABS 的表层就形成了许许多多的空洞及孔穴结构，同时使塑料表面变成亲水性。当贵金属钯的微粒嵌入这些小孔洞中，化学镀中金属原子首先在这些活性中心被吸附而形成锁扣，保证了镀层与塑料的牢固结合（见图 1）。

粗化是否成功，试件从胶体钯中取出水洗后就

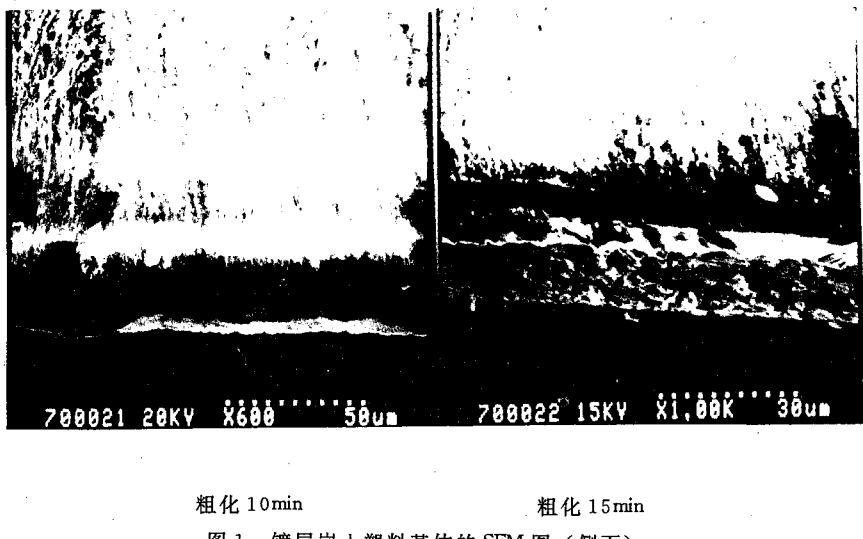


图 1 镀层嵌入塑料基体的 SEM 图（侧面）

可明了。试件成为均匀地浅咖啡色，无任何斑点为佳。若粗化不够，试件表面颜色极淡，孔洞成稀疏状分布；若粗化过度，试件表面呈斑痕状，上述两种情况都会导致镀层附着力下降。粗化液的浓度、温度及粗化时间都直接影响粗化效果。必须根据材料类型和特征来确定。另外也必须注意到粗化液随使用时间增长粗化效果下降的影响。

ABS 的 B 组分含量对镀层附着力影响甚大。B 含量高，粗化会在表面形成过多的孔穴且彼此会连成片；B 组分含量低，表面微孔稀少。均会导致镀层结合强度降低。一般认为 B 含量为 20% 左右时镀层结合强度最大。这种电镀级 ABS 上的镀层，即使试件损坏也不会脱落。

化学镀铜液稳定性较差，必须精心配制与维护

材料工程

配制镀铜液时所有固体样品都应分别用热蒸馏水（或去离子水）溶解，待完全溶解并冷却后，在搅拌下首先混合铜盐与络合剂溶液，然后加入氢氧化钠溶液，再加入稳定剂溶液。使用前过滤并调整 pH 到规范值，最后加入需要量的甲醛。

为抑制化学镀铜中氧化亚铜的生成，必须加入亚铁氰化钾、 $\alpha\alpha'$ -联吡啶、甲醇等稳定剂。加入量要严格控制，否则会导致沉积速度减慢甚至停止反应。镀液需经常进行过滤，及时除去固体微粒。由于甲醛必须在 pH > 11 的碱性溶液中才有还原作用，为了补充使用过程中 $[OH]^-$ 的不断损耗，需随时加入氢氧化钠溶液。为了抑制镀液的自然分解，温度不宜过高。实验中，我们控制温度在 40~50℃。镀液的装载量不超过 3dm³/l，否则会因反应过于剧烈导致镀液分解。

若镀液暂停使用一段时间，可用硫酸调整 pH 至 9 以下，这样可大大降低甲醛的还原作用。待重新使用时，再调整 pH 至规范值。

3.2 镀层结构与性能

3.2.1 Cu 铜层

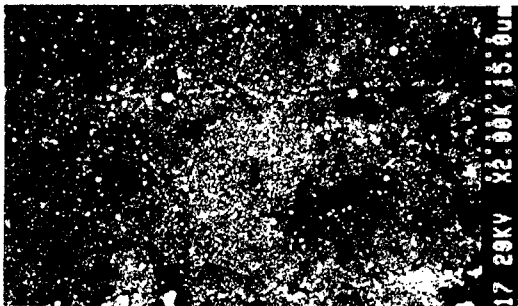
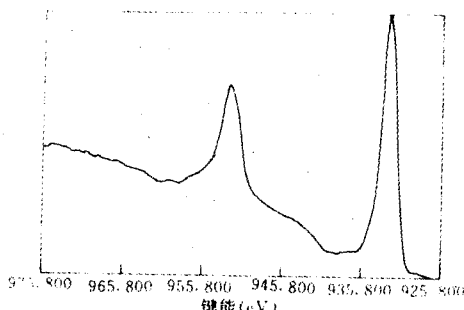


图 2 Cu 镀层的 XPS 谱 (a) 及 SEM (b) 图

a. XPS 谱

b. SEM 图

测量铜层电阻率为 $1.83 \mu\Omega \cdot \text{cm}$ ，与冶炼金属铜或理想铜层电阻率 ($1.67 \mu\Omega \cdot \text{cm}$) 相比还是有一定差距的。铜层与塑料基体附着力达一级划痕标准。

3.2.2 Ni-P 镀层

绝大多数化学镀镍液都是以次亚磷酸钠为还原剂。在镍被还原过程中，磷也被还原出来并与镍共同沉积在镀层上，因此化学镀镍层是以 Ni-P 合金形式存在。改变镀液成分、pH 值及温度等均会改变镀层结构，尤其是镀层的含量。含磷量直接影响镀层的晶化程度。化学镀镍层^[4]的含磷量通常可在 3~10% 范围内变化，含磷量低于 8% 时，通常是微晶与非晶的混合物，且呈磁性。含磷量高于 8% 的镀层为非晶镀层，呈现弱磁性或无磁性。碱性化学镀镍液沉积出镀层的含磷量为 4~7%。实验中调整镀液 pH 值范围在 8.7~13.0，所得镀层的性能列于表 1。

表 1 镀层性能

试片	镀液 pH	含磷量, %	电阻率 ρ_v , $\mu\Omega \cdot \text{cm}$	结晶态	磁性
1	8.7	7.7	120	微晶	有
2	10.2	6.1	105	微晶	有
3	10.7	6.0	105	微晶	有
4	13.0	4.1	78.5	微晶	有

表 1 中的镀层含磷量是斜镀层化学处理后以光度法测定，而磁性能是定性测定的。镀层的 X 射线衍射图和 XPS 谱分别示于图 3 和图 4。

改变化学镀铜液的成分、pH 及温度等，一般只会变化镀层的沉积速度、杂质含量及外观等，镀层基本上均是纯铜层。优质铜层颜色呈粉红透黄、颗粒均匀、光洁质密，其 XPS 谱及 SEM 图如图 2。

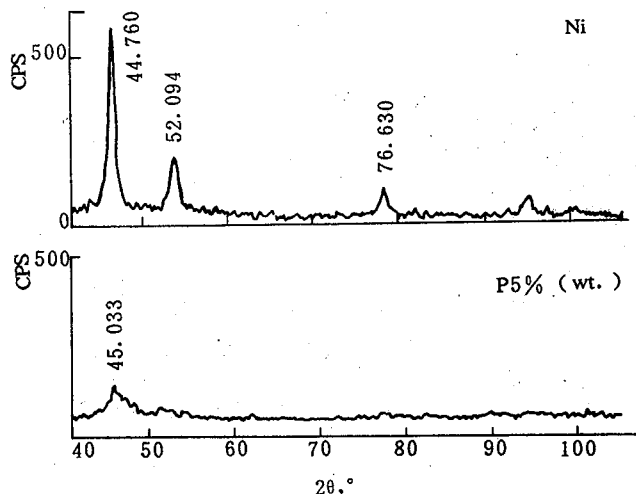


图 3 Ni 与 Ni-P 镀层的 X 射线衍射图

Ni 层是采用 watts 镀液镀出

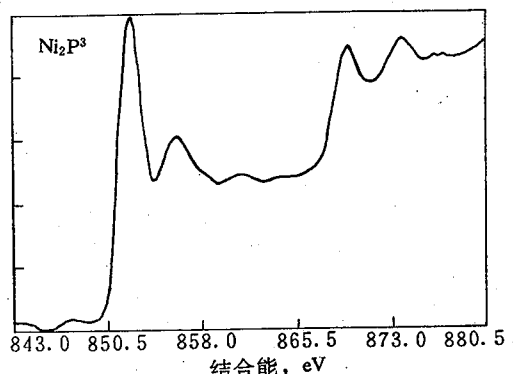


图 4 Ni-P 镀层的 XPS 谱

含磷量 5% (wt) 的镀层已明显出现具有非晶态特征的拓宽了的衍射峰，与电镀纯镍晶态镀层的明显分离。

的衍射峰是截然不同的。

从 Ni-P 镀层的 XPS 谱及 XPS 数据库可知, Ni_2P^3 给出的是结合能为 852.2 eV 的 Ni^0 与 856.1 eV Ni^{2+} , 如图 4。由此可知, Ni-P 镀层是 Ni 与 Ni_2P 的混合物。

图 5 是含磷量为 6% 和 4.1% 镀层的 SEM 图。由于本实验所用镀液的最佳 pH 为 10.5 ± 0.5 , 因而含磷为 6% 的镀层有很快的沉积速度, 且颗粒较小; 当 pH=13.0 时, 沉积速度较慢, 且有比较多的大颗粒出现。

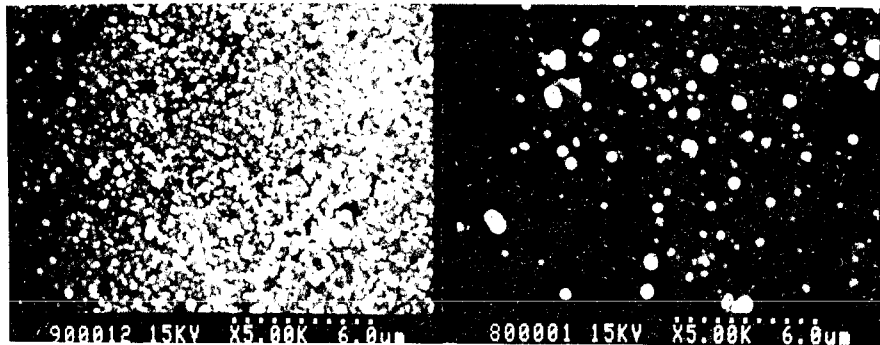
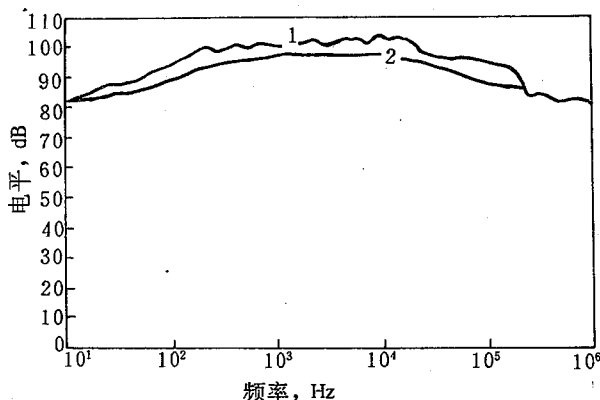


图 5 Ni-P 镀层的 SEM 图
a. P6% (pH=10.7) b. P4.1% (pH=13.0)

3.2.3 Cu/Ni-P 双镀层的电磁屏蔽性能

实验所得双镀层的铜层厚为 $2\sim 5\mu\text{m}$, 镍-磷层较薄, 只有 $0.5\sim 1\mu\text{m}$ 。镀层厚指的是双面镀层厚度之和, 以重量法求出的镀层厚度。图 6 是 Cu/Ni-P 双镀层的屏蔽效果。



曲线 1-Cu₅/ (Ni-P)₁, 曲线 2-Cu₂/ (N-P)₁

图 6 ABS/Cu/Ni-P 材料的屏蔽曲线

对于膜层型屏蔽材料, 电磁屏蔽效率通常可通过下面几式计算^[5]:

$$SE (\text{dB}) = R + A + B$$

式中: SE—膜厚的屏蔽效率,

R—膜层反射衰减,

A—膜层吸收衰减,

B—膜层内部多次反射修正项。

$$R (\text{dB}) = 168 - 10\lg (\mu_r / \sigma_r)$$

$$A (\text{dB}) = 1.31t (\mu_r \sigma_r)^{1/2}$$

$$B (\text{dB}) = 20\lg (1 - e^{-2t/\delta})$$

$$\delta = (\pi \rho \mu \sigma)^{-1/2} \times 10^2$$

式中: f—电磁波频率, Hz,

μ_r —膜层材料的相对磁导率,

σ_r —膜层材料相对铜的电导率,

t—屏蔽层厚度, cm,

δ —电磁波对屏蔽层的穿透深度, cm。

由于铜镀层具有良好的导电性, 而 Ni-P 镀层的导电能力远不如 Cu 层。因此, 作为双镀层屏蔽材料, 其屏蔽作用主要是化学镀铜层。在表 2 的计算中, 也只是计算的铜层的屏蔽, 而对 Ni-P 层不予考虑。

表 2 Cu/Ni-P 双镀层的屏蔽效果

f (kHz)	10	10 ²	10 ³	10 ⁴	10 ⁵	10 ⁶
R (dB)	128	118	108	98	88	78
A (dB)	0.02	0.08	0.25	0.8	2.5	7.9
B (dB)	-44.8	-34.9	-25.0	-15.6	-7.1	-1.5
SE _{ca} (dB)	83.2	83.2	83.3	83.2	83.4	84.4
SE _{me} (dB)	83	89	97	97	89	82
SE _{me} - SE _{ca}	-0.2	5.8	13.7	13.8	5.6	-2.4

从表 2 可以看出, 薄膜的屏蔽主要是反射衰减作用。吸收是很小的, 而多次反射修正项, 由于膜层很薄, 多次反射相位相差很小, 结果使能量彼此叠加而使之成为一较大的负值, 起着抵消单次反射衰减的作用。反射衰减只与反射面的导电、导磁性及电磁波的频率有关,

(下转第 15 页)

表 1 密度功能梯度材料的性能测试

层次	1	2	3	4	5	6
密度 (g/cm ³)	6.646	6.614	6.501	6.379	6.215	6.028
硬度 (kg/mm ²)	121.5	95.21	91.25	84.32	78.38	68.58
抗弯强度 (kg/mm ²)	850.0	766.7	700.0	650.0	558.3	341.7
磨耗比	0.742	1.478	2.723	4.407	16.43	19.59
腐蚀量 (g)	0.517	0.712	0.914	1.223	1.837	2.250
电阻 (10 ⁻⁴ Ω)	7.334	7.685	7.785	7.860	8.040	8.741

从表 1 可得出：随着硬脂酸锌的增加即孔隙率的增加，材料各层的密度近连续降低，形成密度梯度材料；该材料的硬度、抗弯强度、耐磨性、耐蚀性随密度的下降而逐渐减小，呈现梯度性；该材料的电阻随密度的减小而近连续增大，呈现电阻方面的梯度。

将密度梯度材料抛光腐蚀表面后，用金相显微镜观察其金相组织。从图像可以看出，虽然各层密度不同，但金相组织基本相同，与铁基制品金相组织类似。从抛光未腐蚀的样品表面观察到各层孔隙由小逐渐变大，呈连续变化，从而导致其密度也呈近连续变化。而且，从其金相像片还发现该梯度材料层与层间的界线已消失。这是由烧结的扩散运动所引起，扩散运动受烧结温度、颗粒大小和烧结时间等因素的影响，其中起首要作用的是烧结温度，烧结过程中原子扩散速度随温度升高而显著增大。该材料在烧结过程中由于温度较高，烧结时间较长，所以扩散运动相当激烈，由于这种扩散运动使两层之间相互扩散，使得界面消失。从梯度材料的测试结果可知，梯度材料的特性与均一材料和复合材料有类似之处，也有明显区别。均一材料的物理、化学、力学性能是均匀的；复合材料由于存在界面，在界面两侧其性能相差很大；而梯度材料由于成分从一侧到另一侧呈梯度变化，并且无特定界面，从而使得该材料的性能平稳变化，因此缓和了表层和底层之间的应力，不致产生剥离、脱落和破坏，而且在两侧利用其密度不同的优点。因此，密度梯度材料具有许多其它材料所无法比拟的长处，从而使其成为一种新颖独特的材料，具有广阔的应用前景。

4 应用前景

密度梯度功能材料的应用领域主要有宇航工业、生物医学工程、电子工程、光学工程、化学工程等。用于宇航工业，可解决高速飞行器中的热应力缓和。它通过材料的梯度变化，使性能平稳变化，缓和了高温下表面

与底层之间热膨胀失配导致的热应力；用于生物医学工程，可制作人造牙齿、关节等，就人造牙齿而言，牙根部分采用不同密度的材料，由外向里气孔减少，以适应人体和提高牙齿的强度；用于电子工程，可通过调整材料的组成，使其密度梯度化，从而 PZT 等压电陶瓷的压电系数和温度系数等性能可以得到最恰当的分配，获得性能更佳的电子元件。我们相信，随着密度梯度功能材料的进一步研究和开发，将在越来越多的领域中得到应用。

5 结论

(1) 成功地试制出了密度梯度功能材料，其抗弯强度、硬度、耐磨性、耐腐蚀性等随密度近连续下降而逐渐减小；电阻随密度减小而缓慢增大，呈现物理、化学和力学性能的梯度性。

(2) 在烧结过程中存在相当激烈的扩散运动，使得界面消失，从而使该材料的性能从一侧到另一侧呈平稳变化，使制品不易产生剥离、脱落现象。

参考文献

- 赵伟彪等, 功能材料, 1993, 24 (3): 277~281
- 陈炳贻, 材料工程, 1993, 7: 45~47

* * * * *

(上接第 41 页)

而与膜层厚度无关。因此，如不考虑增加膜层数结构复杂的代价，只要增加反射面数就可得到高屏蔽作用。但这要求各反射膜层不能互相连结在一起，其间至少需留出一充以空气或介质材料的小空间。膜层的厚度 t 小于电磁波波长 λ 的四分之一时（即 $t < \lambda/4$ 的膜层屏蔽），总屏蔽效果与频率无关。在上表中的是高频率 10^6 kHz, $\lambda/4 \approx 3.5 \mu\text{m}$, 而 $t = 2 \mu\text{m}$ 。因而总的屏蔽趋于一常数。而对于 $t = 5 \mu\text{m}$ 的屏蔽膜，在电磁波的频率小于 10^6 kHz，屏蔽仍保持常量，但在大于 10^6 kHz 范围，屏蔽值将随频率而变化。

一般情况下，屏蔽效果的计算值总是高于测量值^[6]。但我们上表中的结果恰与之相反，其原因主要有二：其一是在计算中我们将双面膜层厚度之和一并考虑，而在实测中是多了一个反射作用；其二是计算中忽略了 Ni-P 层的屏蔽作用。在目前的测试条件下，二者相差 10 dB 是正常的，由此可以得出，化学镀 Cu/Ni-P 双镀层的屏蔽效果计算值与实际测量值是相符的。

ABS 塑料化学镀 Cu/Ni-P 镀层有良好的电磁屏蔽功能，屏蔽效果已达到（部分超过）美国 FCC 军用标准及德国的 VDE 标准。镀层附着力达到一级划痕水平。

参考文献（略）